



В настоящей статье дано применение графического способа дуговых диаграмм к расчету сжато-изогнутых стержней, нагруженных несколькими сосредоточенными продольными силами и смешанной поперечной нагрузкой. Указанный способ применим как при постоянной по всей длине стержня жесткости, так и при жесткости, изменяющейся от участка к участку.

### Способ дуговых диаграмм

Дифференциальное уравнение сжато-изогнутого стержня в принятой на фиг. 1 системе координат

$$\frac{d^2 M}{dx^2} + \alpha^2 M = q \quad (1)$$

введением безразмерной переменной  $\varphi = \alpha x$ , являющейся угловым эквивалентом длины, приводится к виду

$$\frac{d^2 M}{d\varphi^2} + M = \mu, \quad (2)$$

где  $\mu = \frac{q}{\alpha^2}$  и  $\alpha^2 = \frac{S}{EJ}$ . Так как  $\frac{dM}{dx} = Q$ , то  $\frac{dM}{d\varphi} = \frac{Q}{\alpha} = T$ .

Величина  $T$  в дальнейшем именуется приведенной поперечной силой.

Уравнение (2) может быть представлено теперь в форме зависимости между изгибающим моментом и приведенной поперечной силой

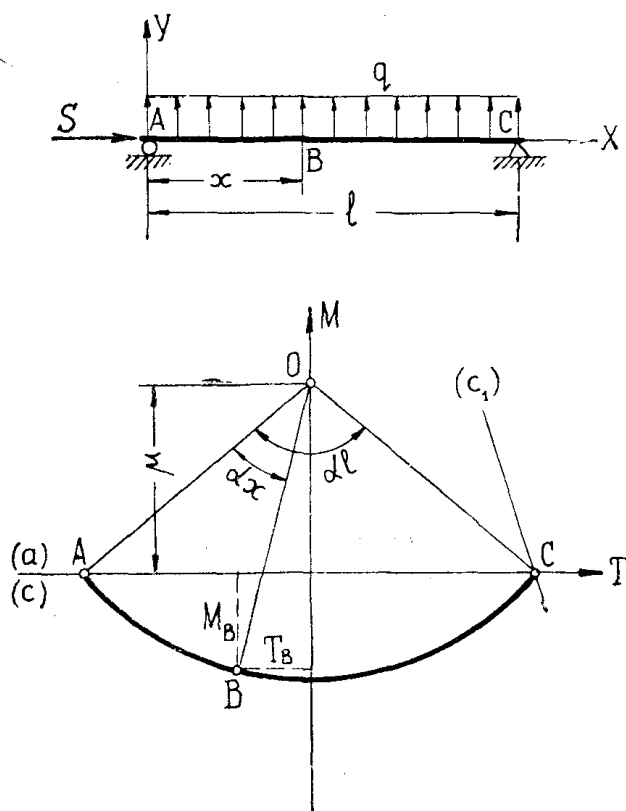
$$T \frac{dT}{dM} + M = \mu. \quad (3)$$

Интегрирование дает результат

$$(M - \mu)^2 + T^2 = \rho^2,$$

который позволяет заключить, что решением уравнения (3) в системе координатных осей  $M$  и  $T$  является окружность радиуса  $\rho$ , имеющая центр в точке  $O$  ( $T=0, M=\mu$ ). Величина постоянной  $\rho$  становится известной непосредственно при построении диаграммы.

Краевые условия задачи всегда определяют положение двух граничных прямых, которым принадлежат крайние точки дуги, соответствующие крайним сечениям стержня. Например, для силовой схемы по фиг. 1 граничные прямые (a) и (c) совпадают с осью  $T$ , т. к.  $M=0$  при  $x=0$  и  $x=l$ . Дуга окружности должна быть ограничена центральным углом  $\varphi = \alpha l$ . Следовательно, вращение прямой (a) на угол  $\varphi$  определит

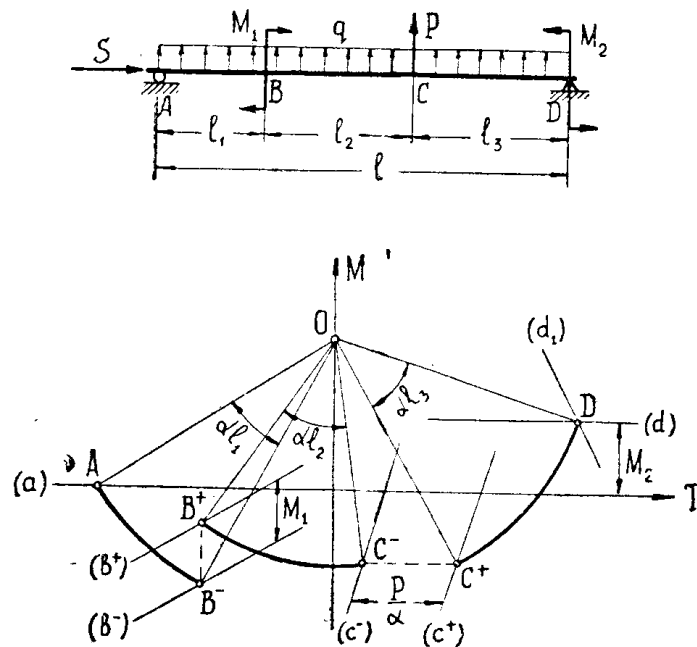


Фиг. 1

такую прямую ( $c_1$ ), на которой лежит правая точка дуги, соответствующая  $x = l$ . Но эта же точка должна принадлежать граничной прямой ( $c$ ). Таким образом пересечение прямых ( $c$ ) и ( $c_1$ ) дает точку  $C$  дуги, радиус которой  $\rho$  равен  $QC$ .

На дуговой диаграмме каждому сечению стержня соответствует точка, координаты которой в выбранном масштабе изображают приведенную поперечную силу и изгибающий момент в указанном сечении.

В общем случае поперечными или продольными нагрузками, а также ступенчатым изменением жесткости пролет разбивается на участки, каждому из которых на диаграмме соответствует дуга окружности. Положение центра дуги любого участка всегда определяется величинами интенсивности поперечной распределенной нагрузки, продольной силы и жесткости участка. Смещение концов дуг на границе смежных участков определяется условиями сопряжения, которые в каждом конкретном случае учитывают наличие разрыва одной или нескольких функций, отображающих изменение изгибающего момента, поперечной силы, интенсивности распределенной нагрузки, жесткости и продольной силы. На фиг. 2 построена дуговая



Фиг. 2

диаграмма для пролета  $AD$ , имеющего три участка. Обозначая значение функции слева знаком  $-$ , а значение функции справа знаком  $+$ , можно представить условия сопряжения на границах участков в следующем виде:

$$\begin{aligned} M^+ &= M^- + M_1 \\ T^+ &= T^- \end{aligned} \quad \text{при } x = l_1,$$

$$\begin{aligned} M^+ &= M^- \\ T^+ &= T^- + \frac{P}{\alpha} \end{aligned} \quad \text{при } x = l_1 + l_2.$$

Точка  $B^-$  дуги первого участка, соответствующая  $x = l_1$ , должна лежать на прямой ( $b^-$ ), полученной вращением левой граничной прямой ( $a$ ) вокруг центра  $O$  на угол  $\alpha l_1$ . Из условий сопряжения следует, что точка  $B^+$  дуги

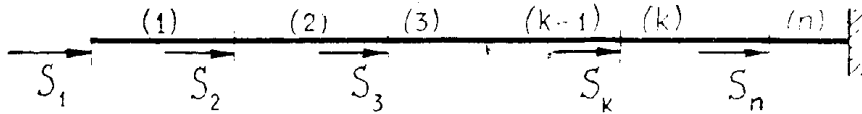
второго участка, соответствующая этой же абсциссе, должна лежать на прямой  $(b^+)$ , смещенной вдоль оси  $M$  на величину  $M_1$  относительно прямой  $(b^-)$ . При этом точки  $B^-$  и  $B^+$  должны иметь на диаграмме равные абсциссы. Точка  $C^-$  диаграммы, соответствующая  $x = l_1 + l_2$ , будет принадлежать прямой  $(c^-)$ , полученной вращением прямой  $(b^+)$  вокруг центра  $O$  на угол  $\alpha l_2$ . Условия сопряжения при  $x = l_1 + l_2$  показывают, что точка  $C^+$ , имея одинаковую с точкой  $C^-$  ординату, должна находиться на прямой  $(c^+)$ , смещенной вдоль оси  $T$  на величину  $\frac{P}{\alpha}$  относительно прямой

$(c^-)$ . Прямая  $(d_1)$ , соответствующая  $x = l$ , получается вращением прямой  $(c^+)$  вокруг центра  $O$  на угол  $\alpha l_3$ . Но этой же абсциссе  $x = l$  соответствует и прямая  $(d)$ . Следовательно, точка  $D$  определяется пересечением прямых  $(d_1)$  и  $(d)$ . Дальнейшие операции проведения дуг между прямыми  $(d)$  и  $(c^+)$ ,  $(c^-)$  и  $(\sigma^+)$ ,  $(\sigma^-)$  и  $(a)$  не требуют пояснений.

Изменение интенсивности распределенной нагрузки не влияет на взаимное положение граничных прямых, но центр дуги участка с другой величиной  $q$  будет иметь иную ординату  $\mu$ .

### Расчет стержней, нагруженных несколькими осевыми силами

Способ дуговых диаграмм дает возможность получить наглядную картину распределения усилий в сжато-изогнутом стержне, нагруженном несколькими продольными силами (фиг. 3).



Фиг. 3

Условия сопряжения на границе  $(k-1)$ -го и  $k$ -го участков имеют вид:

$$M^+ = M^- \quad (4)$$

$$Q^+ = Q^- - S_k \cdot \frac{dv}{dx}, \quad (5)$$

где  $\frac{dv}{dx}$  — угловое перемещение граничного сечения.

Точка  $K^-$ , принадлежащая дуге  $(k-1)$ -го участка и соответствующая концу этого участка, и точка  $K^+$ , принадлежащая дуге  $k$ -го участка и соответствующая началу этого участка должны принадлежать одной прямой, параллельной оси  $T$ . Это следует из условия (4) непрерывности изгибающего момента на границе участков. С другой стороны расстояния этих точек от оси ординат, определяемые величинами  $T^-$  и  $T^+$ , должны удовлетворять условию (5). Этому условию следует придать форму зависимости между  $T^+$  и  $T^-$ .

Для граничного сечения функция  $Q$  справа и слева имеет значения:

$$Q^+ = Q_0 - (S_1 + S_2 + S_3 + \dots + S_k) \frac{dv}{dx},$$

$$Q^- = Q_0 - (S_1 + S_2 + S_3 + \dots + S_{k-1}) \frac{dv}{dx}.$$

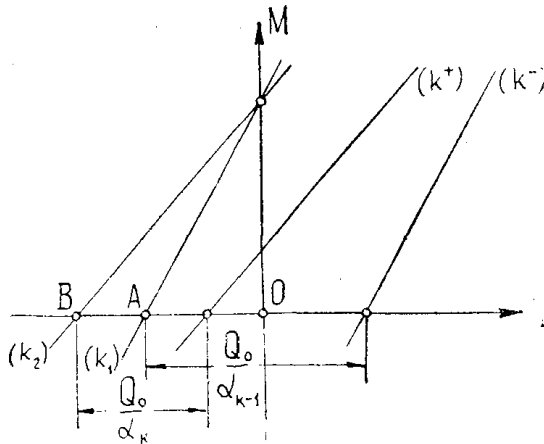
Здесь  $Q_0$  — поперечная сила в граничном сечении при отсутствии продольных сил. После исключения неизвестного углового перемещения  $\frac{dv}{dx}$  условие сопряжения (5) получит форму, наиболее удобную для геометрической интерпретации:

$$\frac{Q^+ - Q_0}{Q^- - Q_0} = \frac{S_1 + S_2 + S_3 + \dots + S_k}{S_1 + S_2 + S_3 + \dots + S_{k-1}}$$

или

$$\frac{T^+ - \frac{Q_0}{\alpha_k}}{T^- - \frac{Q_0}{\alpha_{k-1}}} = \frac{\alpha_{k-1} (S_1 + S_2 + S_3 + \dots + S_k)}{\alpha_k (S_1 + S_2 + S_3 + \dots + S_{k-1})} \quad (5a)$$

Представим себе, что точка  $K^-$  дуги  $(k-1)$ -го участка, соответствующая граничному сечению и имеющая, следовательно, абсциссу  $T^-$ , должна принадлежать некоторой прямой  $(k^-)$  (фиг. 4). В этом случае точка с абсциссой



Фиг. 4

сой  $\left(T^- - \frac{Q_0}{\alpha_{k-1}}\right)$  должна находиться

на прямой  $(k_1)$ , полученной в результате параллельного переноса прямой  $(k^-)$  на величину  $-\frac{Q_0}{\alpha_{k-1}}$

вдоль оси  $T$ . Из условия (5a) следует, что точка с абсциссой

$\left(T^+ - \frac{Q_0}{\alpha_k}\right)$  будет принадлежать та-

кой прямой  $(k_2)$ , абсциссы, точки которой относятся к абсциссам соответствующих (т. е. имеющих такие же ординаты) точек прямой  $(k_1)$  как

$$\frac{\alpha_{k-1}(S_1 + S_2 + S_3 + \dots + S_k)}{\alpha_k (S_1 + S_2 + S_3 + \dots + S_{k-1})}$$

Для построения прямой  $(k_2)$  достаточно отложить отрезок

$$OB = OA \cdot \frac{\alpha_{k-1} (S_1 + S_2 + S_3 + \dots + S_k)}{\alpha_k (S_1 + S_2 + S_3 + \dots + S_{k-1})}$$

и соединить точку  $B$  с точкой пересечения прямой  $(k_1)$  и оси ординат. На прямой  $(k^+)$ , полученной параллельным переносом прямой  $(k_2)$  вдоль оси  $T$  на величину  $\frac{Q_0}{\alpha_k}$ , должна лежать точка с абсциссой  $T^+$ , т. е.

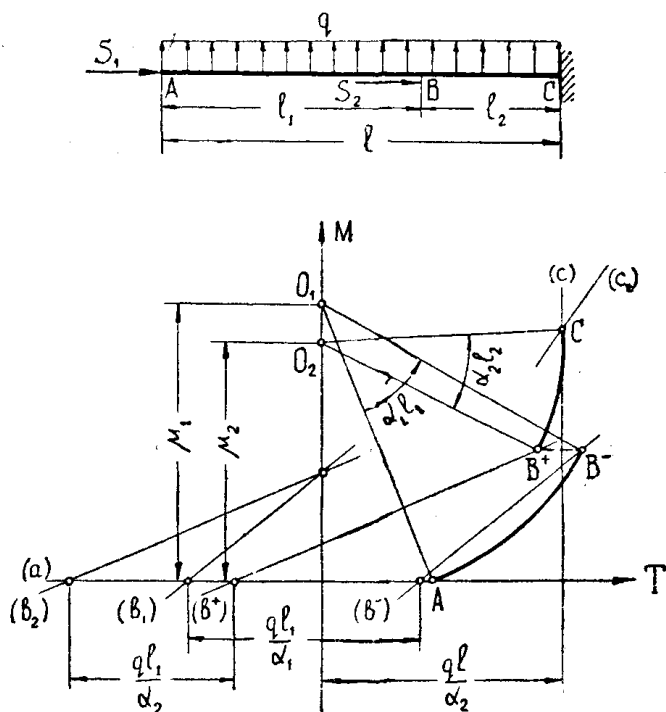
начальная точка  $K^+$  дуги  $k$ -го участка. Итак, если прямая  $(k^-)$  содержит конечную точку дуги  $(k-1)$ -го участка, то начальная точка дуги  $k$ -го участка окажется на прямой  $(k^+)$  и будет иметь ту же ординату.

Последовательность графических операций при построении дуговой диаграммы удобно рассмотреть на частном примере (фиг. 5).

Центры дуг первого и второго участков имеют ординаты

$$\mu_1 = \frac{q}{\alpha_1^2} = \frac{qEJ}{S_1},$$

$$\mu_2 = \frac{q}{\alpha_2^2} = \frac{qEJ}{S_1 + S_2}.$$



Фиг. 5

Краевые условия ( $M=0$  при  $x=0$  и  $T = \frac{ql}{\alpha_2}$  при  $x=l$ ) определяют соответственно левую (a) и правую (c) граничные прямые.

Построение дуговой диаграммы проводится в следующем порядке.

1. Вращение прямой (a), совпадающей в данном случае с осью  $T$ , на угол  $\alpha_1 l_1$  вокруг центра  $O_1$  до положения  $(b^-)$ . На этой прямой должна лежать точка  $B^-$ .

2. Параллельный перенос прямой  $(b^-)$  на величину  $-\frac{Q_0}{\alpha_1} = -\frac{ql_1}{\alpha_1}$  вдоль оси  $T$  в положение  $(b_1)$ .

3. Проведение прямой  $(b_2)$ , абсциссы точек которой относятся к абсциссам точек с такими же ординатами прямой  $(b_1)$  как

$$\frac{\alpha_1 (S_1 + S_2)}{\alpha_2 S_1}.$$

4. Параллельный перенос прямой  $(b_2)$  на величину  $\frac{Q_0}{\alpha_2} = \frac{ql_1}{\alpha_2}$  в направлении оси  $T$  до положения  $(b^+)$ . На этой прямой должна лежать точка  $B^+$ .

5. Вращение прямой  $(b^+)$  на угол  $\alpha_2 l_2$  вокруг центра  $O_2$  до положе-

ния ( $c_1$ ). Точка пересечения прямой ( $c_1$ ) с правой граничной прямой ( $c$ ) является крайней точкой дуги правого участка (точка  $C$ ).

6. Проведение дуги радиусом  $O_2C$  между прямыми ( $c$ ) и ( $b^+$ ). Пересечение дуги с прямой ( $b^+$ ) определяет точку  $B^+$ .

7. Проведение через точку  $B^+$  прямой, параллельной оси  $T$  до пересечения с прямой ( $b^-$ ) в точке  $B^-$ .

8. Проведение дуги радиусом  $O_1B^-$  между прямыми ( $b^-$ ) и ( $a$ ). Пересечение прямой ( $a$ ) и дуги определяет точку  $A$ , соответствующую абсциссе  $x=0$ .

При пользовании диаграммой необходимо иметь в виду, что масштаб по оси  $T$  изменяется от участка к участку в зависимости от  $\alpha$ .

Наличие смешанной поперечной нагрузки, включающей силовые факторы различного типа, учитывается на диаграмме, как это было показано выше, взаимным смещением граничных прямых, характер и величина которого определяются видом и величиной силового фактора. Изменение жесткости, оставляя непрерывными функции  $M$  и  $Q$ , вызывает разрыв функции  $T$ :

$$\frac{T^+}{T^-} = \sqrt{\frac{EJ^-}{EJ^+}}, \quad (6)$$

где  $EJ^-$  — жесткость левого участка,  
 $EJ^+$  — жесткость правого участка.

Следовательно, граничные прямые должны получить взаимное угловое смещение, при котором абсциссы любых двух точек, принадлежащих этим прямым и имеющих одинаковые ординаты, будут связаны отношением (6).

Линейные и угловые перемещения могут быть подсчитаны по формулам:

$$v = \frac{M_0 - M}{S},$$
$$\theta = \frac{Q_0 - \alpha T}{S},$$

где  $M$  и  $T$  — изгибающий момент и приведенная поперечная сила, определяемые для выбранного сечения по диаграмме,  
 $M_0$  и  $Q_0$  — изгибающий момент и поперечная сила, определяемые для того же сечения без учета влияния продольных сил.

#### ЛИТЕРАТУРА

1. Розанов О. Н. Приближенный способ расчета балок переменной жесткости, „Техника воздушного флота“, № 10, 1928.
2. Макушин В. М. К расчету сжато-изогнутых балок в случае приложения продольных сил внутри пролета, „Труды Кр. ММИ им. Баумана“, вып. 2/1, 1936.
3. Rojansky V., Beth R., Camptograms for Beams in Compression, „Journal of Applied Mechanics“, vol. 14, № 3, 1947.